

Runge-Kutta 法に関する二三の

話題について

田中正次 山下茂 山下忠志 加藤武彦
石原翠樹 奥宮常義 (山梨大工)

1. 5次陽的 Runge-Kutta 法の新しい解系

1.1 5次陽的 Runge-Kutta 法

常微分方程式の初期値問題 $y' = f(x, y)$, $y(x_0) = y_0$ が与えられたとき、

$$y_{n+1} = y_n + \sum_{i=1}^6 R_i k_i \quad k_i = h_n f(x_n + a_i, y_n + \sum_{j=0}^{i-1} b_{ij} k_j) \quad (a_0 = b_{10} = 0) \quad (1)$$

を 6 段数陽的 Runge-Kutta 法という。これが 5 次法であるために係数が満たさなければならない条件式は、21 個の未知数を含む 16 個の連立方程式である。

1.2 次数条件式の解

$R_2 = 0$ の場合の Cassity ([1]) の解系について分母が零になる条件は、

$$(I) \quad a_6 = 1 \text{ のとき } a_2 = 0, a_3 = 0, a_4 = 0, a_5 = 0, a_6 = 1, a_7 = 1, a_8 = 1, a_9 = a_4, a_{10} = a_5,$$

$$a_4 = a_5, 30a_3a_4a_5 - 20(a_3a_4 + a_3a_5 + a_4a_5) + 15(a_3 + a_4 + a_5) - 12 = 0,$$

$$10a_3a_4 - 5(a_3 + a_4) + 3 = 0$$

$$(II) \quad a_4 = a_9 / (10a_3^3 + 8a_3 + 2) \text{ のとき } a_2 = 0, a_3 = 0, a_5 = 0, a_6 = 0, a_7 = a_5, a_8 = a_6,$$

$$a_5 = a_6, 5a_3^3 - 4a_3 + 1 = 0, 10a_3^3 - 8a_3 + 1 = 0, 10a_3^3 - 12a_3 + 3 = 0,$$

$$10a_3^2a_5 - 8a_3a_5 - a_3 + 2a_5 = 0, 10a_3^3a_6 - 8a_3a_6 - a_3 + 2a_6 = 0,$$

$$20a_3a_5 - 15a_3 - 10a_5 + 8 = 0$$

上の条件のうち少なくとも 1 つが満たされると、解系の分母が零になってしまふ。従って、これらの条件をもとの次数条件式群に付加して解くことにより、新しい解系が得られる。このうち次の 5 つの場合について解系が得られた。

$$I) \quad a_6 = 1 \text{ の場合 } (i) \quad a_5 = 0 \quad (ii) \quad a_4 = 1$$

$$II) \quad a_4 = a_9 / (10a_3^3 + 8a_3 + 2) \text{ の場合 } (iii) \quad a_5 = a_6 \quad (iv) \quad a_4 = a_6 \quad (v) \quad a_6 = 0$$

得られた解系が正しいことは、REDUCE 3.0 を用いて確認されている。

1.3 解系の安定性と打ち切り精度の関係

1.3.1 安定性 テスト方程式 $y' = \lambda y$ (λ は複素数) を公式(1)に代入し、5 次法の条件式群を用いて整理すると、

$$y_{n+1} = P(\lambda, r_6) y_n \quad P(\lambda, r_6) = \sum_{k=0}^5 (\lambda r_6)^k / k! + r_6 (\lambda r_6)^6 / 6! \\ r_6 = 6! b_{21} b_{32} b_{43} b_{54} b_{65} R_6 \quad (2)$$

が得られる。このとき $S(r_6) = \{\lambda | |P(\lambda, r_6)| \leq 1, \lambda \text{ は複素数}\}$ によって定義される複素平面上の閉領域を公式(1)の絶対安定領域といふ。便宜上、原点を含む単連結な絶対安定領域を $\bar{S}(r_6)$ とし、その面積を S_0 とする。又 R を実数全体の集合とするとき、 $S_0(r_6) = R \cap \bar{S}(r_6)$ によつて定義される閉区間 $[d, 0.0]$ を公式(1)の絶対安定区間といふ。

1.3.2 打ち切り誤差とその判定基準 公式(1)の局部打ち切り誤差を下とすれば、 $T = \tau_5 h_n^6 + O(h_n^7)$ と表わされる。ここで、

$$\begin{aligned} \tau_5 &= a_{51} D^5 f + a_{52} f_y D^4 f + a_{53} f_y^2 D^3 f + a_{54} f_y^3 D^2 f + a_{55} f_y^4 D f + a_{56} D^5 f D f_y + a_{57} f_y D^4 f D f_y \\ &\quad + a_{58} f_y^2 D^3 f D f_y + a_{59} D^3 f_y D f + a_{60} f_y D^2 f_y D f + a_{61} D^2 f_y D^2 f + a_{62} f_{yy} D^2 f D f \\ &\quad + a_{63} f_y f_{yy} (Df)^2 + a_{64} Df_{yy} (Df)^2 + a_{65} (Df_y)^2 Df \end{aligned} \quad (3)$$

ただし $D = \partial/\partial x + f \partial/\partial y$ であり、また $a_{5f} (f=1, 2, \dots, 15)$ は公式の係数のみに依存する関数である。このとき打ち切り精度判定基準として $A_{53} = \sum_{f=1}^5 a_{5f}^2$ を使用する。([2])

1.3.3 安定性と打ち切り精度の関係 各解系は a_i, b_i, R_i を自由パラメータとして持っている。そこで $\alpha_6 = \text{一定}$ という条件の下で最適化の手法を用いて A_{53} を最小にする制約付き最小化を行う。Fig. 1 は、横軸に γ 、縦軸に A_{53} の下限の常用対数、 $S_2(\gamma)$ の下限の絶対値及び S_A をと、(v)の解系についてそれらの相互関係を図示したものである。又 Fig. 2 も同様に座標軸をとり、(v)の解系について安定性と打ち切り精度の関係を図示したものである。

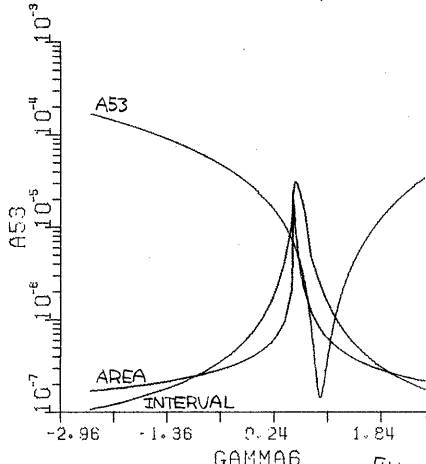


Fig. 1

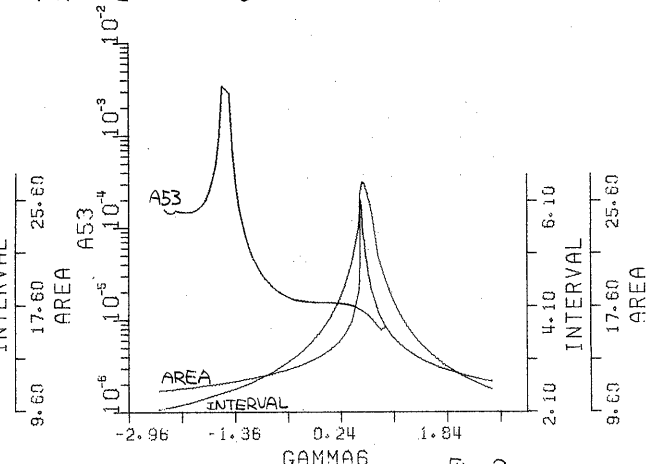


Fig. 2

1.4 数値例

(i) の解系に属する公式のうち (I) S_A 最大 (II) A_{53} の下限最小 (III) (I) と (II) の中間の公式、又 (v) の公式として A_{53} の下限最小の公式を選び、又比較のために Butcher の打ち切り精度最良の公式を選んでいくつかの例題について数値実験を行った。Table 1 は、 $y' = -x^2 y^2 / 3$ $y(2) = 1$ (解 $y = 9 / (x^3 + 1)$) を各公式を用いて刻み幅 0.1 で 50 ステップ積分したときの第 1 ステップ及び最終ステップの誤差、最大誤差である。この結果は多くの数値例における誤差の傾向を良く表している。

Table 1

	1ステップの誤差	最終ステップの誤差	最大誤差
$a_6=0$.2581886E-07	.3333777E-09	.4621649E-07
$a_6=0$ (I)	.9319901E-07	.1077276E-08	.1598854E-06
(II)	.7705453E-08	.9285953E-10	.1298616E-07
(III)	.4199623E-07	.4988915E-09	.7237306E-07
Butcher	.1606607E-07	.8693575E-10	.2403288E-07

1.5 まとめ

1. Cassity の $R_2 = 0$ の解系について、分母が零になる条件を明らかにした。
2. $a_5 = 0, a_6 = 0$ のそれぞれの場合において、最適化の結果得られた公式と既知公式との間に差がほとんどないことが、Cassity のものとの解系に比べると新しい解系は良くないどころかと思われる。
3. 今後はできる限り多くの新解系を導き、Cassity における旧解系と新解系の最適化を行い、その両者を比較したい。

(文献)

- [1] C.R.Cassity, The Complete Solution of The Fifth-Order Runge-Kutta Equations. SIAM J. on Numerical Analysis, Vol. 6, No. 3, pp. 432-436 (1969)
- [2] 田中正次, 山下茂, 田名後保彦, 尾崎実, 5次陽的 Runge-Kutta 法の特性の比較と最適化 教理解析研究所講究録 422, pp. 37-58 (1981)

2. Runge-Kutta 法の診断ルーチン DRERKF について

任意の m 段陽的 Runge-Kutta 法 $\dot{y}_i = h \cdot f(x_n + a_i h, y_n + \sum_{j=0}^{i-1} b_{ij})$, $a_1 = b_{10} = 0$ ($i=1, 2, \dots, m$)
 $y_{n+1} = y_n + \sum_{i=1}^m c_i \dot{y}_i$ (1) に対して、その種々な特性を診断する会話型ルーチン DRERKF
(Diagnostic Routine for Explicit Runge-Kutta Formulas) が開発された。このプログラムは MELCOM 拡張 FORTRAN で書かれ、その全文は約 2000 ステップ程度。以下の概要を述べる。このルーチンは、与えられた公式に対して (i) 公式の係数の簡単なチェック、
(ii) 次数の判定、(iii) 局所打ち切り誤差と同判定基準、丸め誤差判定基準の出力、
(iv) 安定多項式、絶対安定区間、絶対安定領域のグラフ及び面積の出力 等を行なうものである。

・入力データ 公式の係数と次数。係数は小数型と分数型に分けられ、その各々はまた無理数を含むものと含まないものに分けられる。入力された係数は
 $a_i = \sum_{j=1}^m b_{ij}$, $\sum_{i=1}^m c_i = 1$ を満足するかどうかチェックされ、誤りの有無が出力される。誤りがあればその旨を指摘して stop する。

・次数の判定¹⁾ 単一微分方程式、連立微分方程式の何れの場合に対する判定を望むかを入力すれば、指定された場合に応じて係数が何次までの次数条件を満足するか調べられる。次数条件式の残差が 10^{-8} 未満ならばその条件式は成立したとする。各段数に対して到達可能な最大次数が得られているときは、公式は normal さしあげれば abnormal と出力される。

・局所打ち切り誤差とその大小の判定基準の出力 紙面の関係で詳述は避けられ、单一または連立微分方程式の何れについて診断を求めると從い、それそれの場合の局所打ち切り誤差とその大小の判定基準が output される。

・丸め誤差判定基準の出力²⁾ 丸め誤差に関する性質を判断するため次の数量 R が計算され出力される。
 $R = \sum_{i=1}^m |c_i| + \sum_{i=1}^m \sum_{j=1}^{i-1} |b_{ij}|$ (2)

・安定多項式の出力³⁾ 丸め誤差に関する性質を判断するため次の数量 R が計算され出力される。
 m 段 p 次法の場合 $\sum_{k=0}^p \frac{(h\lambda)^k}{k!} + \gamma_{p1} \cdot \frac{(h\lambda)^{p+1}}{(p+1)!} + \dots + \gamma_m \cdot \frac{(h\lambda)^m}{m!}$ (3) が output される。

・絶対安定領域のグラフ、面積及び絶対安定区間の出力³⁾ 絶対安定領域のグラフが描かれ、原点を中心とする単連結な領域についてその総面積 AREA、第 1 象限及び第 4 象限にはみ出した部分の面積 AREA1、AREA2 = AREA - AREA1 が output される。また絶対安定区間 (= AREA ∩ 実軸の集合) が output される。

本ルーチンの使用により、E.B. Shanks⁴⁾ が 10 段 8 次法とよんでいた公式が 7 次法であることが確認された。

この診断ルーチンの特徴としては、任意の公式の特性と同次数の標準的な既知公式的特性を同時に表示し、任意の公式の特性の評価を直観的に可能にすることがある。またある種の Runge-Kutta 公式的データベース化の一つの step でもある。現在 1 次から 7 次までの問題ないか (多分連立方程式については 1 次から 8 次までよいと思われるが)、少なくとも 8 次法までは信頼できるものにしたい。次に診断プログラムの使用例として Heun の 2 次法に関する結果を示す。

文獻

1. D. Jacobs (ed.), The state of the Art in Numerical Analysis, Part IV Ordinary Differential Equations and Quadrature (J.D. Lambert), Academic Press, 1977
2. 同上他, 5 段陽的 Runge-Kutta 法の特性の比較と最適化, 数理解析研究所講究録 422, 1981
3. J.D. Lambert, computational Methods in Ordinary Differential Equations, John Wiley & Sons, 1973
4. E.B. Shanks, Solution of differential equations by evaluations of functions, Math. Comp. Vol 20, No. 93, 1966

使用例

例えばHeunの公式

1
2/3 1 2/3

1 1/4 3/4

を、入力してみる。

Do you want to write the name of input formula (Y or N) ? Y

Please input the name! Heun

How many stages ? 2

Which is the type of input data , fraction or decimal (F or D) ? F

Are irrational numbers in the data (Y or N) ? N

the numerator of A(2)= 2

the denominator of A(2)= 3

the numerator of B(2 1)= 2

the denominator of B(2 1)= 3

the numerator of C(1)= 1

the denominator of C(1)= 4

the numerator of C(2)= 3

the denominator of C(2)= 4

This formula is 2nd(.LE.4) order method.

Therefore, I cannot judge that it is for systems of D.E, or simple

Please input (R or T) ! R

以上の入力が終ると、以下の診断結果が得られる。

***** THE DIAGNOSIS *****

----- INPUT DATA -----

* Heun-formula

* stages ----- 2

* formula -----

2/3! 2/3

1 1/4 3/4

* check -----

This formula is perfect ! It has no error !

----- ORDER -----

The result of test, this formula satisfied
conditional equations of 2 nd order for systems of D.E.

Therefore, this formula is 2 stage 2 nd order
explicit Runge-Kutta formula for systems of D.E.

* check -----

This formula is normal !

For a 2 stage method, the best possible order is 2 !

----- TRUNCATION ERROR -----

* for systems of D.E.

T2 = G2 * Hn**3 + O1 Hn**4)

G2 =
+ a 2 1 * f''(f,f)
+ a 2 2 * f'(f'(f))

; a 2 1 = .69388939039072289E-17
; a 2 2 = .166666666666665E+00

----- CRITERIA OF THE SIZE OF TRUNCATION ERROR -----

* for systems of D.E.

* A 2 2 = \$(i=1,2) ! a 2 i !

* A 2 3 = \$(i=1,2) a 2 i **2 @ where, \$ denotes 'SIGUMA'

A 2 2 = .16666666666666665E+00

A 2 3 = .2777777777777773E-01

----- CRITERION OF ROUND-OFF ERROR -----

* for systems of D.E.

R = \$(i=1,2) |CIi| + \$(i=2,2)\$(j=1,i-1) |BIj| @ where, \$ denotes 'SIGUMA'

R = .14166666666666665E+01

----- POLYNOMIAL OF STABILITY -----

PP(2 2)=1+Z+Z**2/2!

----- THE AREA OF THE REGION OF ABSOLUTE STABILITY -----

* AREA ; the area of the region of absolute stability

* AREA 1 ; the area of the non-effective region of absolute stability
(in the first and the forth quadrant)

* AREA 2 ; the area of the effective region of absolute stability

AREA = 5.86869924820757690

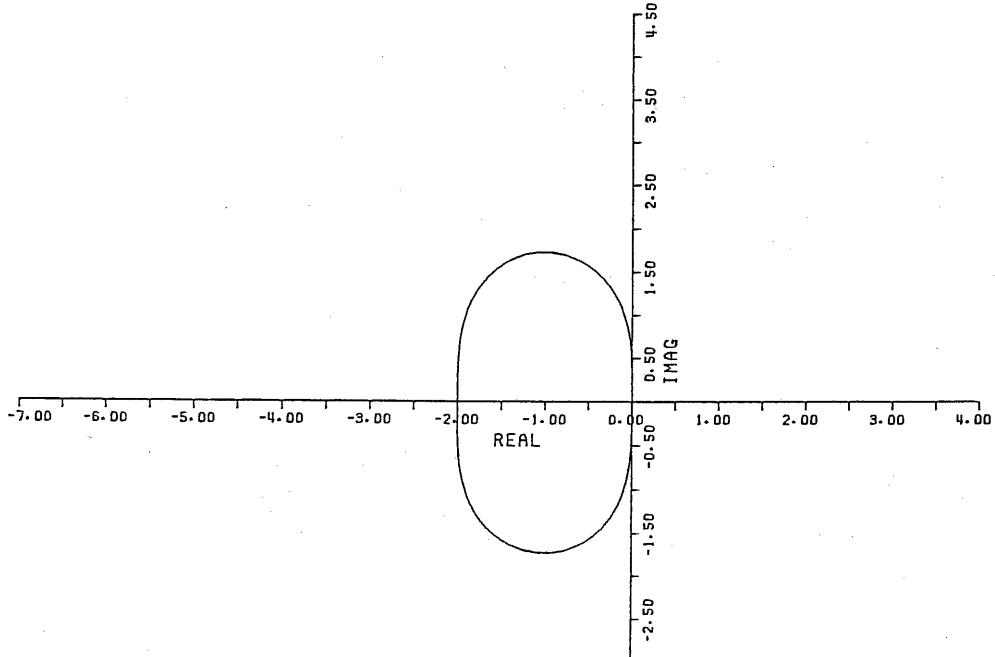
AREA 1 = .00000020596098693

AREA 2 = 5.86869904224658990

----- THE INTERVAL OF ABSOLUTE STABILITY -----

(-1.99999704743720560 , 00000000000000000)

----- THE REGION OF ABSOLUTE STABILITY -----



3. 10段数陽的 Runge-Kutta 法の安定性について

3.1 まえがき 我々はこれまでに 5 段 4 次法から 9 段 7 次法に及ぶ様な高段数及び次数の方法の安定性について研究して来た。そして特に多くの既知公式が存在している方 5, 6 次法については、打ち切り誤差及び安定性の両面から若干実用的な意味のある提案を行うことができると思ふ。^{1), 2)} 今回は 10 段公式について報告する。

3.2 10段数陽的 Runge-Kutta 法 与えられた初期値問題を $y' = f(x, y)$, $y(x_0) = y_0$ (3.2.1) とし, $f(x, y)$ は十分滑らかと仮定しよう。そのとき 10 段数陽的 Runge-Kutta 法の一形は次のようになされる。

$$k_i = h_n f(x_n + a_i h_n, y_n + \sum_{j=0}^{i-1} b_{ij} k_j) \quad a_i = b_{i0} = 0 \quad (i=1, 2, \dots, m) \\ y_{n+1} = y_n + \sum_{i=1}^m c_i k_i \quad h_n = x_{n+1} - x_n \quad (n=0, 1, 2, \dots) \quad (3.2.2)$$

10 段法の具体的な公式としては, E. B. Shanks³⁾ により 10 段 8 次法があるが、我々の計算ルーチンによればこれは比較的精度の高い 7 次法である。^{注)} 10 段で 8 次の精度が可能であるかどうかは未だ知られていない。以下 10 段数陽的 Runge-Kutta 法を 10 段法と略称する。

3.3 10 段法の安定性 安定性の取扱いは次のように異なるので、ここでは二つの可能性を考える必要がある。すなわち公式が実在する 7 次法と、れよつとすると架空の仮定があるかもしれない 8 次法である。まず取扱いが容易な 8 次法から考えよう。

3.3.1 安定性に関する諸概念 慣例にしたがい、テスト方程式 $y' = \lambda y$, 入は複素実数 (3.3.1) を用いて安定性に関する諸概念を導入しよう。公式 (3.2.2) をテスト方程式 (3.3.1) に代入し、次式単位式を用いて簡単化すると次式が得られる。

$$y_{n+1} = p(h\lambda, y_8, y_9) y_n \quad (3.3.2) \quad p(z) = z^8 + p(h\lambda, y_9, y_{10}) \quad h\lambda \text{ の } 10 \text{ 次式で次式} \\ \text{によって与えられる。} \quad p(h\lambda, y_9, y_{10}) = \sum_{k=0}^8 \frac{(h\lambda)^k}{k!} + y_9 \cdot \frac{(h\lambda)^9}{9!} + y_{10} \cdot \frac{(h\lambda)^{10}}{10!} \quad (3.3.3)$$

(3.3.3) 式によつて与えられる $h\lambda$ の多項式 $p(h\lambda, y_9, y_{10})$ を 10 段 8 次法の安定多項式といふ。また次式によつて定義される $S(y_9, y_{10})$ を 10 段 8 次法の絶対安定領域といふ。

$$S(y_9, y_{10}) = \{ h\lambda \mid |p(h\lambda, y_9, y_{10})| \leq 1, h\lambda \text{ は複素数} \} \quad (3.3.4)$$

$S(y_9, y_{10})$ の中で、安定性の面で特に重要な原点を含む单連結な閉領域を, $\bar{S}(y_9, y_{10})$ と表すこととする。このとき次式によつて定義される実軸上の区间 $S_I(y_9, y_{10})$ を 10 段 8 次法の絶対安定区間といふ。 $S_I(y_9, y_{10}) = R \cap \bar{S}(y_9, y_{10})$ (3.3.5) ただし R は実数全体の集合である (Fig. 1 を見よ)。

S_a を $\bar{S}(y_9, y_{10})$ の面積, S_1, S_2, S_3 及び S_4 をそれそれ $\bar{S}(y_9, y_{10})$ の中央部の面積, 左側のくじれた部分の面積, オイラー限への突出部の面積及び第 4 象限への突出部の面積としよう (Fig. 2 を見よ)。

そのとき

$$S_a = S_1 + S_2 + S_3 + S_4 \quad (3.3.6)$$

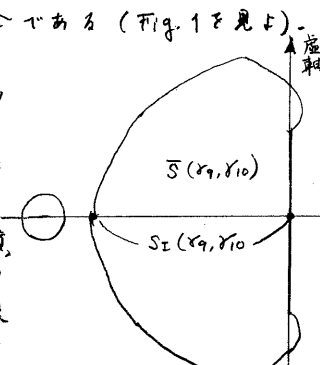


Fig. 1 $\bar{S}(y_9, y_{10})$ と $S_I(y_9, y_{10})$

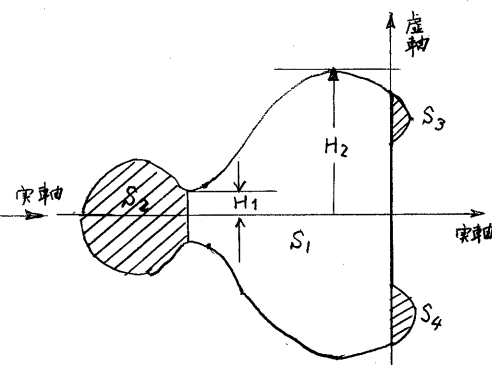


Fig. 2 $\bar{S}(y_9, y_{10})$ の有効面積

$\bar{S}(x_9, y_{10})$ の中で安定性にとつて有効な面積 S_a' を次のようにな定義しよう。

(i) $H_1/H_2 < 0.1$ たゞは $S_a' = S_1$ (3.3.7) (ii) $H_1/H_2 \geq 0.1$ たゞは $S_a' = S_1 + S_2$ たゞ H_1 及び H_2 は $\bar{S}(x_9, y_{10})$ の境界上の点の虚部の絶対値の最小と最大である。 (3.3.8)

3.3.2 10段8次法の安定性 紙面の都合で詳述はしない。パラメータ x_9, y_{10} を一定方向にかけて固定刻付で動かしたときに得られるすべての2次元格子点 (x_9, y_{10}) について、 S_a, S_a', S_2 を計算し、それらが最大になる格子点を求めろメッシュ法、 x_9, y_{10} を両軸にとつて S_a の等高線図を描き、最適パラメータの存在範囲をしづら等高線図法、 $\max S_2$ を与える安定多項式 $p(h\lambda, x_9, y_{10})$ のグラフが $y=\pm 1$ に接するところから得られる非線形連立方程式を解いてパラメータを決定する方法などを併用し、また他段数の探査結果から得られた知識を参考にして、絶対安定区間 S_2 を最大にするパラメータ及び S_a, S_a' をほぼ最大にするパラメータを求めた。その結果を下記に示す。

$x_9 = 0.762313, y_{10} = 0.2751203$ で絶対安定区間は最大となるときの値は $[-10.15, 0.0]$ となる。Fig. 3 はこれに対応する安定多項式のグラフ及び絶対安定領域を示す。また $x_9 = 0.8125, y_{10} = 0.34$ で S_a 及び S_a' がほぼ最大となるときの値は $S_a = 58.3, S_a' = 58.2$ となる。Fig. 4 はこれに対応する絶対安定領域のグラフを示す。

8次法の場合

8次法の場合

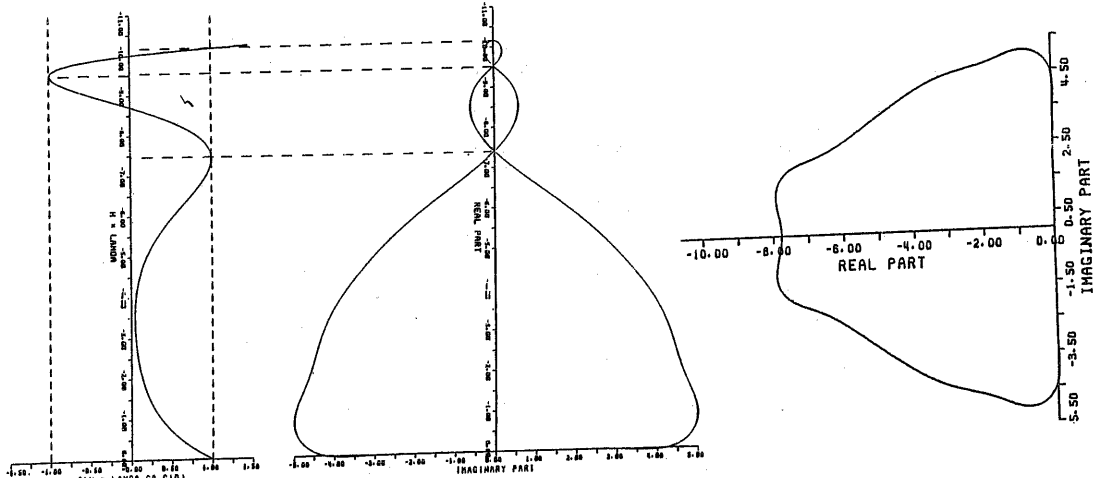


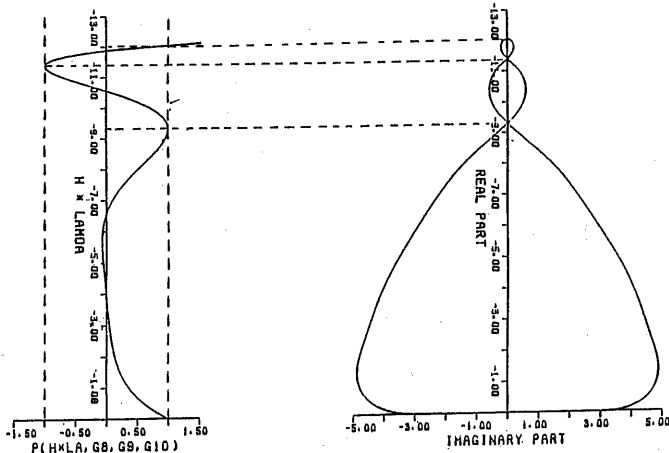
Fig. 3 最大絶対安定区間に対応する
安定多項式のグラフと絶対安定領域

Fig. 4 S_a, S_a' がほぼ最大となる
場合の $\bar{S}(x_9, y_{10})$

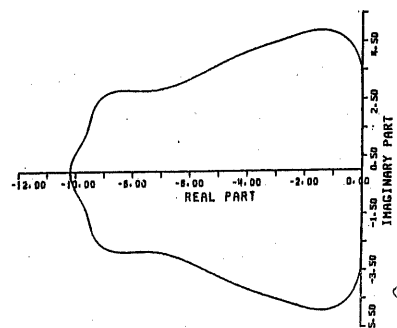
3.3.3 10段7次法の安定性 この場合安定多項式は $p(h\lambda, x_8, x_9, y_{10}) = \sum_{k=0}^7 \frac{(h\lambda)^k}{k!} + \sum_{i=8}^{10} \frac{(h\lambda)^i}{i!}$ となる。10段7次法の安定性に関する諸概念は、10段8次法の各定義式 (3.3.9) において $p(h\lambda, x_8, y_{10})$ を $p(h\lambda, x_7, y_8, y_9)$ でレトロ置き換えれば得られる。この場合12個の最適パラメータの探索は、等高線図法が使えないことと並んで8次法と同様である。得られた結果を次に示す。

$x_8 = 0.87032367, x_9 = 0.505478, y_{10} = 0.1347$ で絶対安定区間はほぼ最大となるときの値は $[-12.0, 0.0]$ となる。これに対応する安定多項式のグラフと絶対安定領域を Fig. 5 に示す。また $y_8 = 0.87, y_9 = 0.515, y_{10} = 0.145$ で S_a がほぼ最大となるときの値は $S_a = 72.2$ である。Fig. 6 にこれに対応する絶対安定領域を示す。

7次法の場合

Fig. 5 最大絶対安定区間に含まれる
安定多項式のグラフと保村安定領域

7次法の場合

Fig. 6 S_a にはば最大となる場合
の $\bar{S}(s_9, s_{10})$

4. 高次法の安定性 級数が増すほど安定性はよくなる。また同じ級数では低次法の方が安定性が優れていく。最大絶対安定区間に含まれる安定多項式のグラフ及び保村安定領域は酷似している（表1及表2を見よ）。

表1 高次法の絶対安定区間 (m級法)

公式	γ_{m-2}	γ_{m-1}	γ_m	max S_a の下限	注)
5段4次法			0.490	-6.06	shanksの公式の安定性
6段5次法			0.525	-6.21	$S_a = 26.27$
7段6次法			0.54731	-6.511	$S_a = [-4.05, 0.0]$
8段6次法		0.716	0.233	-9.8287	
9段7次法		0.742	0.256	-9.9589	
10段7次法	0.870527	0.505118	0.1347	-12.0	
10段8次法		0.762	0.275	-10.1530	

表2 高次法の絶対安定領域 (m級法)

公式	γ_{m-2}	γ_{m-1}	γ_m	max S_a
5段4次法			0.54	23.41
6段5次法			0.5625	27.05
7段6次法			0.589	29.83
8段6次法		0.775	0.2975	45.56
9段7次法		0.80	0.324	51.59
10段7次法	0.87	0.515	0.145	72.2
10段8次法		0.8125	0.34	58.33

文 献

- 田中, 若林, 山下, 5段数陽的Runge-Kutta法の安定性と打ち切り精度の関係について, 数理解析研究会講究録483, 1983
- 6段及び7段数陽的Runge-Kutta法について, 田中, 山下, 若林, 数値解析研究会講究録, 1983
- E.B. Shanks, Solution of differential equations by evaluations of functions, Math. Comp. Vol.20, No.93, 1966

4. Runge-Kutta 法の次数条件式を自動生成ルーチン AMOCE について

高次 Runge-Kutta 法の次数条件式や局所打ち切り誤差をためる計算は、計算力を跨る応用数学のエキスパートにとつてもなかなか極めて厄介で困難な問題であった。この困難を大幅に緩和し計算を可能にしたのは、J.C. Butcher による rooted tree の考え方¹⁾であった。しかしそれでもなお、この方法を駆使して高次法について正しい結果を導くことは、大変骨の折れる退屈なまた時間のかかる仕事であることは変わりはない。我々はこの点に着目して次数条件式を自動的にためる会話型プログラム AMOCE を開発した。

1. AMOCEの概要

AMOCEは指定された次数に対して、

1. tree及び近似解のTaylor展開の計算
2. tree及び数値解のTaylor展開の計算
3. 連立の微分方程式に対する次数条件式の計算
4. 単一の微分方程式に対する次数条件式の計算

を行い、XYプロッタ装置に出力するためのデータを作成する。PLAMOCEは、

これを読み込みXYプロッタ装置に出力するものである。ここでAMOCEはMELCOM

PASCAL8000によって、PLAMOCEはMELCOM拡張FORTRANによって記述されている。

2. 操作法

AMOCEは、プロッタ出力用データをF:FOUTに出力する。従ってF:FOUTにファイルをセットしておく必要がある。そのファイルをF:5にセットしてPLAMOCEを実行することにより、近似解、理論解のTaylor展開、次数条件式がXYプロッタ装置に

出力される。しかしながら、これらを行うコマンド・プロシジャーC:AMOCEがすでに用意されている。その利用法は、

C:AMOCE. [F:FOUT,F:5にセットするファイル名]

である。セットするファイル名を省略すると後で問い合わせてくる。

C:AMOCEを実行すると、

Load-module L:AMOCE already exist? (YES...Y,PLOT...P):

の問い合わせがある。これはAMOCEをコンパイル、リンクしてロード・モジュールがすでに出来ているかの問い合わせである。ある場合はYと入力することによりコンパイル、リンクは行なわれず、すぐに実行に移る。また、プロッタ出力用データがすでに出来ていてすぐにPLAMOCEを実行したい場合はPと入力する。

AMOCEの実行が終ると、

PLOT START! (NO...N):

の問い合わせがある。これは、F:FOUTにセットしたファイルを読み込みPLAMOCEを実行してもよいかの問い合わせである。何らかの理由で実行しない場合はNと入力する。Yと入力すると、

Load-module L:PLAMOCE already exist? (YES...Y):

の問い合わせがある。これはAMOCEの場合と同様である。

コマンド・プロシジャーC:AMOCEを用いずに実行する場合の注意点は、

1. AMOCEはF:FOUTにプロッタ出力用データを出力する

2. PLAMOCEのリンクは、

!LYNX ¥:IXYLIB1.9999KK54;.KPLIBE;.EXTLIBE

とする

ことである。ここでIXYLIB1は、高速化、簡単化を図るためDRAWプロセッサを用いずに
XYブロック装置に出力するものである。又KPLIBEはMOJI（文字作図用サブルーチン
パッケージ）の使用に必要である。

3. 使用法

ユーザーは、次数の指定及び

0.treeと近似解のTaylor展開の計算

1.treeと理論解のTaylor展開の計算

2. 単一の微分方程式に対する次数条件式の計算

3. 連立の微分方程式に対する次数条件式の計算

のうちどの仕事をするのかを選択しなければならない。

まず、次数を問い合わせてくる。

----- PLEASE INPUT YOUR JOB'S ORDER (.2..9.) -----

次に仕事を問い合わせてくる。

----- PLEASE INPUT YOUR JOB'S NUMBER (.0..3.) -----

--IF YOU INPUT 0 THEN

MAKES TREES AND TAYLOR EXPANSION OF NUMERICAL SOLUTION

--ELSE IF YOU INPUT 1 THEN

MAKES TREES AND TAYLOR EXPANSION OF NUMERICAL SOLUTION

--ELSE IF YOU INPUT 2 THEN

MAKES ORDER CONDITIONAL EQUATION FOR SINGLE D.E

--ELSE THEN

MAKES ORDER CONDITIONAL EQUATION FOR SYSTEM D.E

従って、実行したい仕事を0から3の間で選択する。

4. 実行例

例えば、単一の微分方程式に対する5次の次数条件式を出力したい場合は、

----- PLEASE INPUT YOUR JOB'S ORDER (.2..9.) -----
75

----- PLEASE INPUT YOUR JOB'S NUMBER (.0..3.) -----

--IF YOU INPUT 0 THEN

MAKES TREES AND TAYLOR EXPANSION OF NUMERICAL SOLUTION

--ELSE IF YOU INPUT 1 THEN

MAKES TREES AND TAYLOR EXPANSION OF NUMERICAL SOLUTION

--ELSE IF YOU INPUT 2 THEN

MAKES ORDER CONDITIONAL EQUATION FOR SINGLE D.E

--ELSE THEN

MAKES ORDER CONDITIONAL EQUATION FOR SYSTEM D.E

72

と入力する。すると次の様な出力が得られる。

$$\int u_1 \beta_{11} \beta_{12} k^2 k d_1 = 1/120$$

$$\int u_1 \beta_{11} \beta_{12} k^2 = 1/60$$

$$\int u_1 \beta_{11} \beta_{12} k d_1 + \int u_1 \beta_{11} \beta_{12} k d_1 = 7/120$$

$\{u_1 \beta_1\}^3 d_1$	= 1/20
$\{u_1 \beta_1\}^2 d_1$	= 1/15
$\{u_1 \beta_1\} d_1 \beta_1 k d_k$	= 1/20
$\{u_1 \beta_1\} d_1^2$	= 1/10
$\{u_1\} d_1^4$	= 1/5

5. もすゞ このルーチンは、現在連立微分方程式については2次から9次に至る次数条件式を生成することができる。單一方程式については一部チェック中である。このルーチンを一層有用なものにするためには、 \bar{u} の形で書かれた次数条件式の \bar{u} を外し、各係数の符号を正確に書き下す必要があるだろう。また局所打ち切り誤差の主項または主項と第2項を次数条件式と同時に出力することができますと、このルーチンの価値は倍加されただろう。今後の研究は單一方程式に対して次数条件式を完全本ものとすることに加えて、局所打ち切り誤差を出力する方向に向けられなければならない。

文献

1. G. Hall and J. M. Watt, Modern Numerical Methods for Ordinary Differential Equations, Chap. 10, ^(ed.) Implicit Runge-Kutta and related methods (J.C. Butcher), Clarendon Press, Oxford, 1976